

硝酸钠-沥青固化物热稳定性研究

徐远超 汪书卷 罗上庚

(原子能研究所)

本文利用热分析、气相色谱、红外光谱多种技术，测定了九种国产纯沥青的热性质，比较了沥青辐照前后热性能的变化，揭示了沥青和硝酸钠在稍高于220℃就开始相互作用，发生氧化还原反应，提出了安全操作的工艺温度。此外，还试验了影响硝酸钠-沥青固化物燃烧的某些因素。

一、前 言

沥青固化法处理中，低放废物是目前世界上某些国家采用的方法。由于沥青是可燃性有机物而硝酸钠又是强氧化剂，因此硝酸钠-沥青固化物的热稳定性是人们所关注的问题。沥青固化物的热稳定性不仅影响到工艺生产的安全，而且还影响到以后运输、贮存和处置的安全性和稳定性。对于硝酸钠-沥青固化工艺的安全性，目前世界上有两种对立的看法。各国报道的硝酸钠-沥青固化物热稳定性研究的结果列于表1。从表1看出，他们都没有提到在250℃以前存在放热反应。虽然多数国家规定的工艺操作温度比较低，但为什么作如此规定，没有见到理论解释，并且也有一些国家规定操作温度可高达250℃。到底什么温度是安全的工艺操作温度？我们运用热分析、气相色谱和红外光谱多种技术，揭示了硝酸钠-沥青固化物加热到稍高于220℃温度就开始相互作用，发生氧化还原反应，放出热量。因为沥青导热系数比较小，容易出现局部过热，所以我们建议工艺操作温度应该低于200℃。此外，本文还给出了九种国产沥青和一种混合沥青的热性质，比较了三种沥青辐照前后热性能的变化，并且还初步研究了影响燃烧的一些因素。

二、实验仪器设备

- (1) DT-20B 差热分析仪（日本岛津公司）；
- (2) 热重-示差扫描量热分析仪（日本理学公司）；
- (3) 100型气相层析仪（上海分析仪器厂）；
- (4) PERKIN-ELMER 377 光栅红外光谱仪（英国）；
- (5) IR-S 型红外光谱仪（日本分光工业株式会社）。

1979年6月14日收到。

表1 各国 NaNO_3 -沥青固化物热稳定性研究结果和规定的工艺操作温度

国家	NaNO_3 -沥青固化物热稳定性研究结果	规定的工艺操作温度	参考文献
西德	沥青产品差热分析270—300°C出现吸热峰, 400°C左右出现放热峰。沥青着火温度在400°C以上, 含硝酸盐或过渡金属硝酸盐的样品着火温度为360—380°C。	通常操作温度180°C, 不得超过200°C	[1]
欧化公司 (比利时)	差热分析和热重分析表明, 沥青固化物390—430°C出现显著放热, 295°C以下没有放热反应。如果盐份分布均匀, 混合物任何一点温度若不超过280°C, 这样没有自发放热的危险, 如果盐份分布不均匀, 沥青中至少含有50%盐份时, 任何一点温度不应该超过230°C。	低于200°C	[2]
奥地利	沥青-盐混合物燃烧范围总是在380—420°C, 仅当外部加热到400°C以上迅速燃烧。沥青和硝酸盐或亚硝酸盐混合物低于300°C时, 没有发现放热反应。	不超过200°C	[3,4]
法国	固化块自燃温度在350°C以上	低于225°C	[5]
日本	NaNO_3 -沥青固化物在320°C燃烧。差热分析表明, NaNO_3 -沥青猛烈放热反应在~400°C	低于230°C	[6]
苏联	各种沥青- NaNO_3 (20—80%); 混合物起始放热反应在400°C以上。强碱性时 (NaNO_3 : $\text{NaOH} = 9:1$), 临界温度降到230—280°C, 在沥青- NaNO_3 (25—70%) 混合物中存在干扰物时, 燃点从390°C降低到270°C	低于200°C	[7]
匈牙利		低于250°C (N_2 气氛中进行)	[7]
东德波兰		200—230°C	[7]
美国	含硝酸盐的沥青样品在330°C左右着火, 含亚硝酸盐的沥青样品在275°C着火 ⁽⁹⁾ 。当盐含量为45.8%时, 高于250°C即自燃和爆炸 ⁽¹⁰⁾ 。		[8,9]

三、实验方法

1. 样品制备 用下述三种方法制备:

(1) 手搅制备, 即把沥青加热到110°C, 在不断搅拌下, 按计算量加入煮沸的硝酸钠溶液, 不断搅拌加热到180°C蒸发除去水份, 然后冷却得到固化样品。

(2) 双螺杆挤压机制备

(3) 刮膜蒸发器制备

采用南京60#沥青制成40% NaNO_3 (重量) 的固化物。

2. 热分析方法 取样量6—60毫克不等, 根据实验项目而定, 参考物为 $\alpha\text{-Al}_2\text{O}_3$, 为使基线平直 $\alpha\text{-Al}_2\text{O}_3$ 的用量为样品量的1.6倍。一般情况, 升温速度10°C/分, 纸速5毫米/分, 加热范围: 室温—600°C, TG范围: 20毫克或50毫克, DTA范围: ±100毫伏, DSC范围: ±8毫卡/秒。(TG为热重曲线, DTA为差热曲线, DSC为示差扫描量热曲线)。为

消除空气的影响，先抽真空，然后通入高纯氦或高纯氮，在稳定的惰性气流下（50毫升/分）进行测定。

3. 色谱分析 检测器：热导池；载气：氦气或氮气；柱填充物：GDX-104 和 13X 分子筛。

进样方法有两种：

①热分析仪和气相色层仪相连（自己改装），进样时旋转定量取样阀，热分析仪程序升温，加热样品产生的气体定量进入气相层析仪。不进样时直接排入空气中。

②称取 2 克固化物样品放在密封的不锈钢罐内（内径 35 毫米，高度 55 毫米），抽真空后放在烘箱内恒温一定时间，用针筒采样进行色谱分析。

4. 红外光谱分析 把上述烘箱中恒温过的样品压片进行红外光谱分析。称取 6 毫克样品，加入溴化钾 200 毫克，研磨均匀（若样品过粘无法研磨时，将样品放在小表面皿中，用少量乙醚将样品溶解，然后加入溴化钾，红外灯下烤干除去乙醚，再研磨均匀），压成小片，进行测定。

四、实验结果

1. 纯沥青热性能的测定 用岛津微量差热分析仪和理学微量热重——示差扫描量热分析仪测定了九种纯沥青、一种混合沥青、三种辐照沥青的 DTA 曲线、DSC 曲线和 TG 曲线。所得的热数据列于表 2，从表 2 看出：

- ①纯沥青在空气中起始放热温度（缓慢氧化）一般在 120—150℃；
- ②在 340℃ 左右有一个比较小的放热峰；
- ③在 380—395℃ 发生激烈的氧化放热（燃点）；
- ④在燃点之前放出热量大致为 1000—1400 卡/克^{*}，占沥青燃烧总放热量的 1/5；
- ⑤起始失重温度在 210—250℃；
- ⑥最大失重温度在 370—390℃，和燃点基本一致；
- ⑦从试验过的九种沥青来看，大致趋向是：沥青标号越高，燃点越低，起始失重温度越低，燃点前放出的热量越多。

为了比较不同标号的沥青在燃点之前的放热行为，图 1 给出了 4 种沥青的部分 DSC 曲线。从图 1 清楚看出燃点之前放出的热量规律为：

东炼 200# 沥青 > 南京 60# 沥青 > 兰州 30# 沥青 > 兰州 10# 沥青。

图 2 给出了南京 60# 纯沥青在空气中加热的 DSC 曲线，在氦气氛中加热的 DSC 曲线和 TG 曲线。由此图看出，南京 60# 沥青在空气中加热至 150℃ 就缓慢氧化放热，在 342℃ 出现一个小放热峰，在 381℃ 发生激烈氧化放热，开始燃烧，经过多次燃烧，在 580℃ 基本烧完。可是在高纯氦或氮气氛中加热，情况完全不同，看不到放热峰，只是在接近 400℃ 时出现吸热，在 470—480℃ 时出现最大吸热。由此可见，沥青的燃烧、放热必须依靠氧的供给。

2. 辐照对沥青热性能的影响 将兰州 10#、茂名 60#、东炼 200# 沥青在钴源上照射 0.76×10^7 伦琴、 1.82×10^8 伦琴剂量，在 N₂ 气氛下测定了他们的失重曲线，见表 3 和图 3。

从表 3 数据看出，南京 60# 沥青即使照射 10^8 伦琴的剂量，热性能也没有重大的变化，

* 该值和实验测定条件、仪器精度、样品重量等很多因素有关。

表2 国产纯沥青的一些热性能

沥青型号	空气中加热起始放热温度, °C	燃点之前放热峰温度, °C		燃点, °C		燃点前放出热量, 卡/克	燃烧完毕温度(理学仪), °C	起始失重温度, °C	最大失重温度, °C	备注
		理学仪测定值	岛津仪测定值	理学仪测定值	岛津仪测定值					
兰州 10*	120	345	342	396	383	1044	591	255		
胜利 10*	125	340	336	395	382	1013	590	253		
玉门 10*	164	344	335	383	376	1022	588	253	377	总放热量 5302卡/克
兰州 30*	133	348	342	392	380	1112	596	286	385	
锦西 30*	150	350	345	390	386	1262	580			
锦西 55*	120	340	335	385	376	1084	585	230	370	
茂名 60*	130	339	332	379	373	1159	570	210	372	总放热量 5202卡/克
南京 60*	150	342	337	381	380	1271	580	215	367	
东炼 200*	120	354	353	388	382	1435	580			
东炼200*/玉门10*=1:1	130	348	343	382	372	1285	570			
兰州10*	辐照剂量 0.64×10^7	154	343	340	387	379	1050	581	285	384
锦西55*		140	338	335	388	380		578	240	362
茂名60*		130	343	338	383	378	1072	570	215	

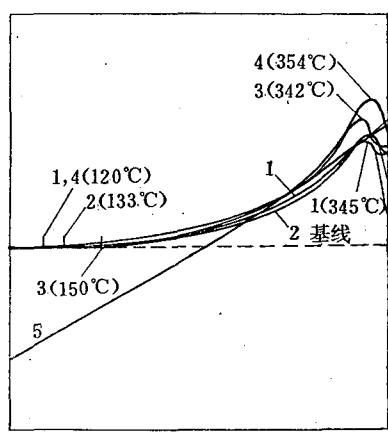


图1 四种沥青的部分DSC曲线
(空气中程序升温加热)

1—兰州10#沥青；2—兰州30#沥青；3—南京60#沥青；4—东炼200#沥青；5—程序升温曲线。

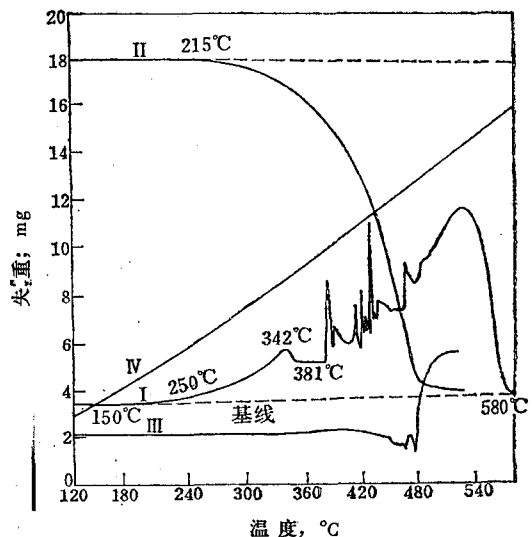


图2 南京60#沥青的DSC曲线及TG曲线
I—南京60#沥青DSC曲线(空气气氛)；II—南京60#沥青TG曲线(He气氛)；III—南京60#沥青DSC曲线(He气氛)；IV—程序升温曲线。

表 3

沥青辐照前后热性能的变化

沥青	辐照剂量，伦	样品重量，毫克	测定气氛	起始失重温度，°C	激烈失重温度，°C	终止失重温度，°C	失重，%
兰州10*	—	19.18	N ₂	238	426	487	82.8
	$0.76 \times 10^7 *$	19.21	N ₂	246	423	483	77.7
东炼200*	—	15.93	N ₂	214	427	491	90.1
	$1.82 \times 10^8 **$	15.98	N ₂	225	423	489	87.7
茂名60*	—	16.02	N ₂	232	414	486	83.4
	$0.76 \times 10^7 *$	16.03	N ₂	218	420	492	82.7

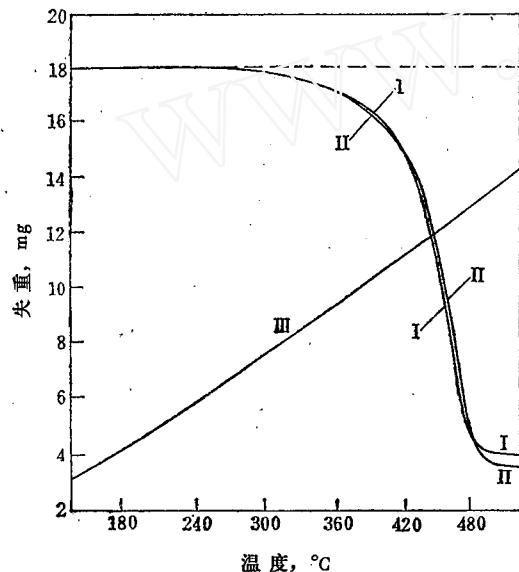
* 钻源剂量率 1.25×10^5 伦/小时，辐照时间60.8小时；** 钻源剂量率 8.56×10^5 伦/小时，辐照时间212.5小时。

图 3 (a) 东炼200#沥青辐照前后加热失重情况比较

I——东炼200#沥青(辐照) TG 曲线; II——东炼200#沥青(未辐照) TG 曲线; III——程序升温曲线。

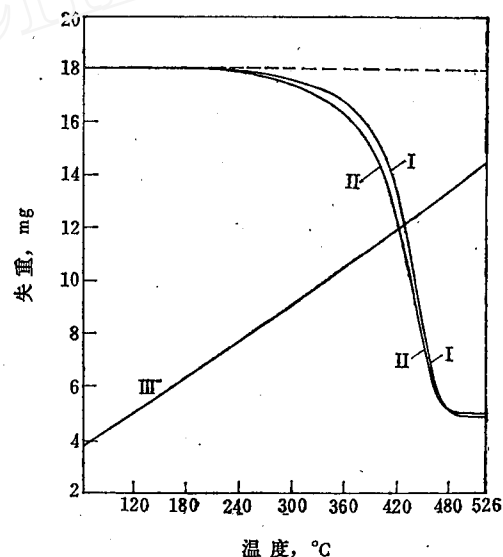


图 3 (b) 茂名60#沥青辐照前后加热失重情况比较

I——茂名60#沥青(辐照) TG 曲线; II——茂名60#沥青(未辐照) TG 曲线; III——程序升温曲线。

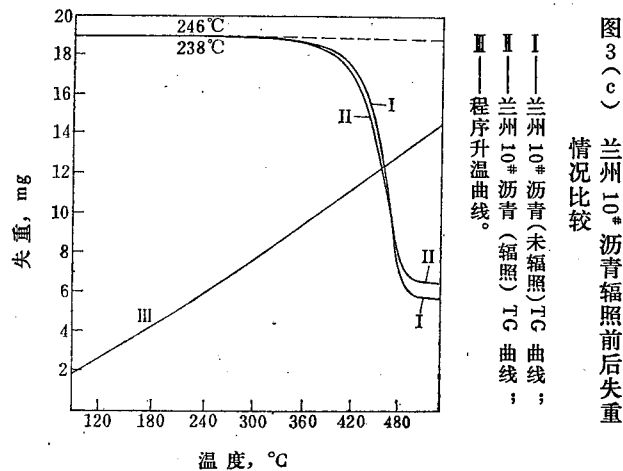


图 3 (c) 兰州10#沥青辐照前后失重情况比较

I——兰州10#沥青(未辐照) TG 曲线;
II——兰州10#沥青(辐照) TG 曲线;
III——程序升温曲线。

只是辐照过的沥青起始失重温度稍推迟，终止失重温度稍提前，失重百分数稍降低，这可能因为辐照期间沥青的某些组份已经挥发、分解或裂解所致。从沥青的外观来看，辐照沥青确实变得松脆多孔。茂名60#沥青和兰州10#、东炼200#沥青变化规律不太一致，这可能茂名60#沥青有不同组份。

兰州10#、茂名60#、东炼200#三种沥青辐照前后的红外光谱图进行比较也证明，辐照剂量达 10^8 伦，沥青的分子结构没有明显的变化。

3. 硝酸钠的差热、热重特性 硝酸钠在空气中和惰性气氛中测定结果相同。图4给出了硝酸钠的DSC曲线和TG曲线。从DSC曲线看出，硝酸钠在225°C左右开始吸热，在274°C出现第一个吸热峰，这是硝酸钠的相变温度。在308°C出现第二个吸热峰，这是硝酸钠的熔化温度。随着样品中杂质含量的增加，峰温稍有降低。把硝酸钠加热到700°C也没有见到放热反应，而是加热到420°C后开始吸热。从TG曲线看出，硝酸钠要加热到420°C才开始分解失重， ~ 650 °C开始激烈失重。

4. 40%硝酸钠-沥青固化物的研究

(1) 加热后样品外观的变化。将纯沥青和40% NaNO_3 -沥青固化物分放在两个不锈钢罐中，在220°C下恒温15小时，恒温后，纯沥青表面光滑均匀，内部仍呈粘滞状，而40% NaNO_3 -沥青固化物的表面则呈蜂窝状(见图5)，表明已有气体放出，前面实验已经证明单纯 NaNO_3 加热到这样温度是不会放出气体的，显然这种气体的释出是沥青和硝酸钠相互作用的结果。并且还看到样品失去粘性，变干、变脆。恒温温度越高，恒温时间越长，这种变化越甚。

(2) 加热过程酸碱度的变化。40% NaNO_3 -沥青固化物在热分析仪上程序升温加热，尾气从偏酸性变到碱性，pH从6上升到9(在加热到285°C时， $\text{pH} \approx 7$ ，加热到410°C， pH

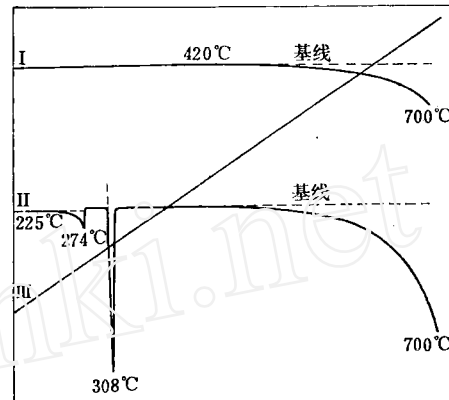


图4 硝酸钠 TG 曲线、DSC 曲线

I —— NaNO_3 TG 曲线 (He 气氛)；
I —— NaNO_3 DSC 曲线 (He 气氛)；
I —— 程序升温曲线。

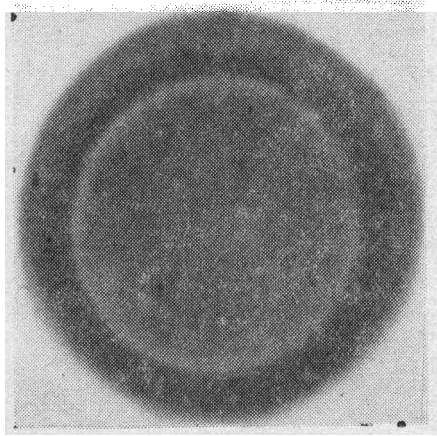


图5(a) 纯沥青真空235°C恒温
15小时后表面状况

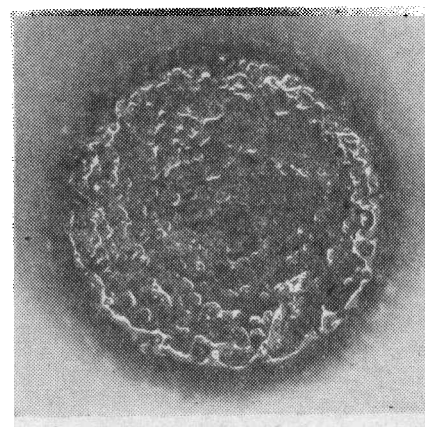


图5(b) 40% NaNO_3 -沥青固化物真空
220°C恒温 15 小时后表面状况

≈ 9 ）。这是因为 NaNO_3 是一种强氧化剂，容易被还原，随着还原程度不同，产生多种气体产物。加热温度越高，恒温时间越长，还原程度越深，氮的价态变得越低，尾气从酸性变到碱性。

	NO_2	N_2O_3	NO	N_2O	N_2	NH_3
氮的价态	+4	+3	+2	+1	0	-3
酸 碱 性	酸性		中性		碱性	

对于 NaNO_3 -沥青固化物样品，未恒温时呈中性，但是在 245°C 恒温 14.5 小时后，样品的 pH 值上升至 13（pH 试纸测定）。这表明 NaNO_3 和沥青已经发生了化学反应，生成了呈碱性的 NaNO_2 、 Na_2O 、 Na_2CO_3 和 NaOH 等（后面二者是 Na_2O 进一步反应产物），红外光谱分析证明了这一点。

（3）气体色谱法测定。将等量的纯沥青和硝酸钠-沥青固化物分别装在两个同样体积的不锈钢罐中，抽真空后在同样条件下恒温，然后用针筒采样进行色谱分析。实验发现含 40% NaNO_3 的沥青固化物在一定温度下恒温一定时间会产生 H_2 、 CH_4 、 NO_x ，而沥青却不产生 H_2 、 CH_4 、 NO_x （见表 4）。

表 4 40% NaNO_3 -沥青固化物恒温后气体色谱分析的结果

样 品	样品重量，克	恒温温度， $^\circ\text{C}$	恒温时间，小时	H_2	CH_4	NO_x
挤 压 机 样	2	217	15	-	-	-
"	2	220	15	+	+	+
"	2	223	15	+	+	+
"	2	230	3	-	-	-
"	2	230	6	+	+	+
"	2	230	9	+	+	+
"	2	230	15	+	+	+
"	2	246	4	+	+	+

实验表明沥青和硝酸钠一起存在时，相互影响，相互作用，在 220°C 恒温 15 小时就发生了化学反应。

将热分析尾气导入气相层析仪，差热曲线出现第一放热峰时，气相色谱鉴定尾气中有 N_2 、 NO_x 、 CH_4 、 CO_2 、 C_2H_4 、 C_2H_6 、 H_2O 等。对应第二放热峰，气相色谱鉴定尾气中有 N_2 、 NO_x 、 NH_3 、 CH_4 、 CO_2 、 C_2H_4 、 C_2H_6 、 H_2O 等。第一放热峰 NO_x 量大，第二放热峰 NO_x 量少，并有较多 NH_3 产生（见图 6），这表明加热温度越高， NaNO_3 还原越深。

（4）红外光谱鉴定。对各种沥青、 NaNO_3 、 NaNO_2 和 NaNO_3 -沥青固化物样品进行红外光谱分析发现：

未作恒温处理的南京 60# 沥青和 285°C 恒温 40 分钟的南京 60# 沥青，红外光谱图完全相同，表明恒温处理纯沥青分子结构不发生变化。

将未经恒温处理的 NaNO_3 和在 250°C 恒温 6 小时， 350°C 恒温半小时的 NaNO_3 的红外光谱图进行比较，证明恒温处理纯 NaNO_3 分子结构也不发生变化。

NaNO_3 -沥青固化物兼有硝酸钠和沥青两者的特征峰，见图 7。在不同温度下进行不同时间恒温处理的固化样品作红外光谱图，发现在 220°C 长时间恒温，在 250°C 附近较短时间恒温， 300°C 以上瞬间加热的样品，其红外光谱图在 1240 cm^{-1} 、 1120 cm^{-1} 、 840 cm^{-1} 处出现了三

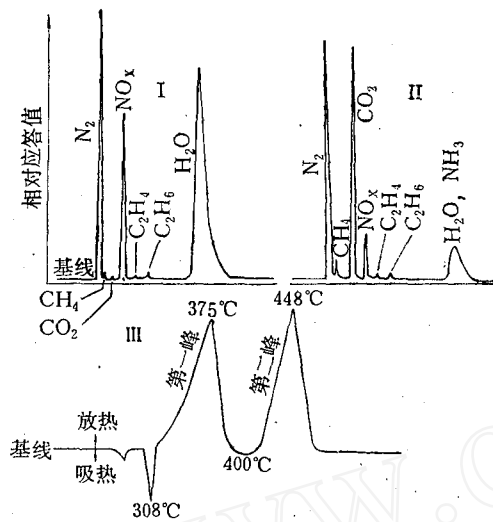


图 6 NaNO_3 -沥青固化物程序升温加热第一、第二放热峰温时的气相色谱图

I、第一放热峰温时气相色谱图；II、第二放热峰温时气相色谱图；III、 NaNO_3 -沥青固化物的 DSC 曲线。

5. 硝酸钠-沥青固化物的燃烧
加热，发现加热到某个温度后出现燃烧强烈冒烟，产生很浓的难闻的味道，在热分析图上出现骤然升温和骤然失重（见图 9）。我们采用改变单项参数进行实验（见表 5、表 6 和表 7）发现：

①沥青固化物的燃烧与固化物恒温温度有关，恒温温度越高，燃烧越激烈，跃升温度数越多，产生的气体越多；

②沥青固化物的燃烧与固化物恒温时间有关，恒温时间越长，燃烧越激烈，跃升温度数越多，产生的气体越多；

③沥青固化物的燃烧与样品量有关，被恒温的样品量越多，燃烧越激烈，跃升温度数越多，产生的气体越多；

④燃烧起始温度随着恒温温度的提高，恒温时间的增长，被恒温样品量的增多而下降。

一个新吸收峰，并且 $1500-1600\text{cm}^{-1}$ 和 $1400-1500\text{cm}^{-1}$ 两个吸收峰的峰位有了移动（向波数小的方向移动），但是，与燃烧完毕的固化样品（加热到 500°C 以上）的红外光谱图作比较，发现只有 1240cm^{-1} 这一吸收峰是恒温处理过程出现的新吸收峰。再与 NaNO_2 的红外光谱图作比较，看到这个新吸收峰的峰位和亚硝酸钠的亚硝基峰相近，因此，红外光谱分析又证明 40% 硝酸钠-沥青固化物在稍高于 220°C 的温度下长期加热，沥青就和硝酸钠发生了氧化还原反应，产生了亚硝基化合物。

大量实验表明，这种亚硝基化合物的生成和恒温温度、恒温时间有关，见图 8 曲线。从曲线看出，在 220°C 附近，反应生成亚硝基化合物诱导期很长，在 250°C 已经比较短，到 300°C 时是瞬时的。

将恒温过的 NaNO_3 -沥青样品在热分析仪上程序升温

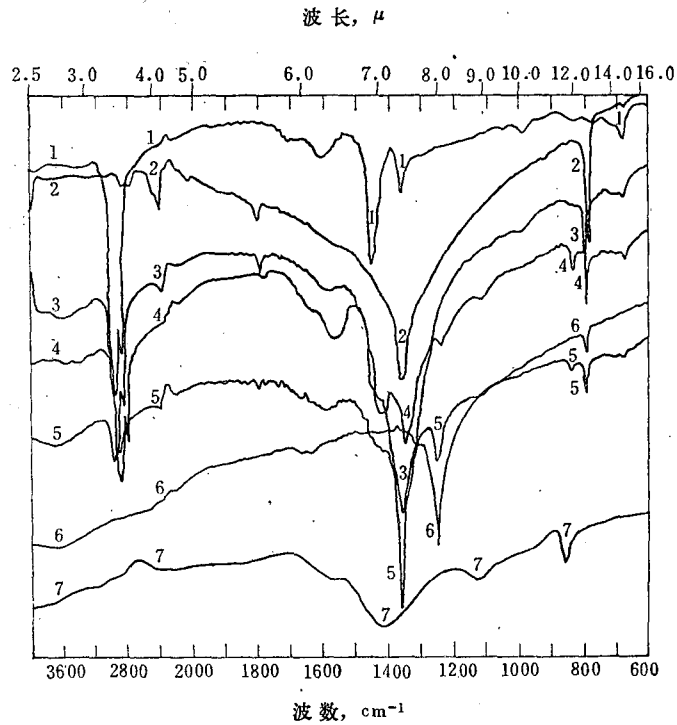


图 7 沥青、 NaNO_3 、 NaNO_2 和 40% NaNO_3 -沥青固化物（经过恒温及未经恒温以及燃烧完毕）的红外光谱图

1) 纯沥青；2) NaNO_3 ；3) NaNO_3 -沥青固化物；4) 235°C 恒温 14.5 小时的 NaNO_3 -沥青固化物；5) 285°C 恒温 40 分钟的 NaNO_3 -沥青固化物；6) NaNO_2 ；7) 燃烧完毕的 NaNO_3 -沥青固化物。

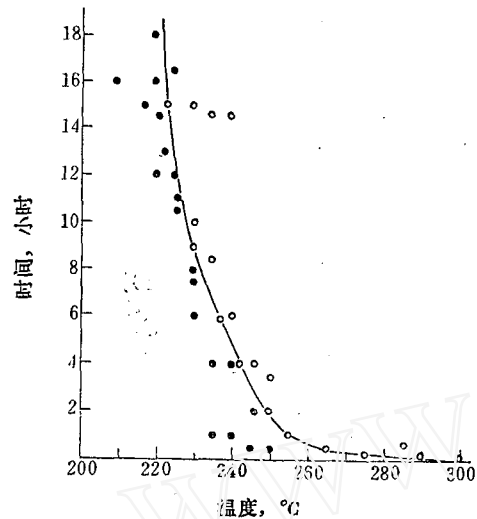


图 8 40% 硝酸钠-沥青固化物产生亚硝基化合物与恒温温度、恒温时间的关系

●—没有亚硝基化合物产生；
○—产生亚硝基化合物。

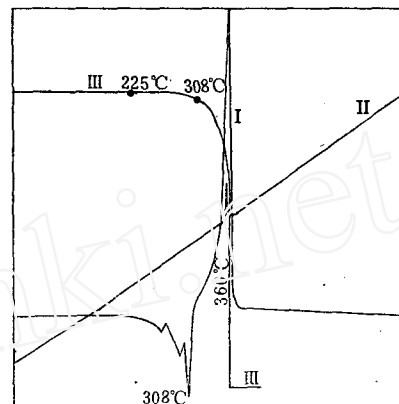


图 9 NaNO_3 -沥青固化物 DSC 曲线
燃烧时呈现的骤然升温和骤然失重

I—大连样 DSC 曲线； II—程序升温曲线；
III—TG 曲线。

表 5 NaNO_3 -沥青固化物燃烧与温度的关系

样 品	样品重量, 毫克	测定气氛	恒 温*		骤然升温 范围, °C	跃升度数
			温度, °C	时间, 分		
刮膜蒸发器制样	50.71	He	262	32	420—445	35
刮膜蒸发器制样	49.50	He	282 162	14 12	420—448	28
刮膜蒸发器制样	50.45	He	292	7	423—468	45

* 热分析仪上恒温。

表 6 NaNO_3 -沥青固化物燃烧与恒温时间的关系

样 品	样品重量, 毫克	测定气氛	恒 温**		骤然升温 范围, °C	跃升度数
			温度, °C	时间, 小时		
双螺杆挤压机制样	40.88	N_2	230	1.5	432—442	10
双螺杆挤压机制样	40.99	N_2	230	9	412—432	20
双螺杆挤压机制样	40.92	N_2	230	15	410—438	28

** 烘箱中恒温。

表7 NaNO_3 -沥青固化物燃烧与样品量的关系

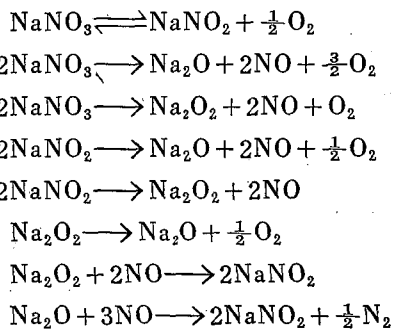
样 品	样品重 量,毫克	测 定 气 氛	恒 温**		骤然升 温		骤然失 重	
			温 度, ℃	时 间, 小 时	升温范围, ℃	跃升度数	失重范围	失重, %
双螺杆挤压机制样	10.06	N_2	230	15	—	—	—	—
双螺杆挤压机制样	20.12	N_2	230	15	417—440	23		27.3
双螺杆挤压机制样	40.92	N_2	230	15	410—438	28	20.8—55.0%	34.2
双螺杆挤压机制样	61.12	N_2	230	15	410—460	50	21.3—62.1%	40.8

* 烘箱中恒温。

五、讨 论

1. 从硝酸钠-沥青固化物加热过程酸碱度的变化, 外观的变化, 气相色谱、红外光谱和热分析一系列研究证明, 沥青和硝酸钠共存时与他们单独存在时的行为不一样。40% NaNO_3 -沥青固化物加热到稍高于220℃, 就看出发生化学作用, 但是比较缓慢, 要加热较长时间才显出明显的结果, 可是加热到250℃, NaNO_3 和沥青的相互作用就相当显著。

2. 硝酸钠是一种强氧化剂, 还原反应放出氧。纽贝 (B. J. Newby) [10] 提出可能存在如下反应:



氢能提供燃烧用。沥青是一种碳、氢有机化合物, 和硝酸钠一起加热到220℃后产生氢气和低碳羟类(如甲烷、乙烯、乙炔等), 这些都是燃爆性气体, 因此, 为产生燃烧和爆炸创造了条件。

3. 示差扫描量热分析DSC曲线反映出的热量是 ΣQ 。
 $\Sigma Q = Q_{\text{吸}} + Q_{\text{放}} + Q_{\text{传导}} + Q_{\text{对流}}$

$Q_{\text{吸}}$ 代表固化物相变、熔化、化学反应等所吸收的热量;

$Q_{\text{放}}$ 代表固化物化学反应放出的热量;

$Q_{\text{传导}}$ 、 $Q_{\text{对流}}$ 代表热传导、气体对流损失的热量。

在308℃以前, 表现为硝酸钠的转化吸热、熔解吸热占优势, 因此 DTA 和 DSC 图上在300℃以前只看到吸热峰, 不呈现放热峰, 实际上是掩盖了放热现象。尤其是灵敏的热分析仪情况更是这样。但在大量样品条件下, 局部地方是可能会出现放热占优越的, 沥青是热的不良导体, 室温下它的导热系数是铝的1/290, 是铁的1/90, 因此容易出现局部过热, 可能达到燃烧温度。局部燃烧放出的热量提供给周围固化物, 由局部燃烧扩展为整体燃烧。如果在一个有限空间里, 蓄积了大量气体, 产生很大的压力, 就可能产生爆炸。

4. 鉴于220℃就看出硝酸钠和沥青发生化学作用，所以工艺操作温度应该低于200℃。运输、贮存的环境应该远低于这个温度。

为了防止局部过热和燃爆性气体的积聚，保证安全运行，采用间歇装桶，如西德采取转盘上6个桶轮流灌装，每个桶灌装30分钟，每个175升的铁皮桶分9—10次注满，冷却24小时后送去贮存，保证桶中心温度低于100℃。装桶时不要注满，留下10—15%的空隙，工艺间设有监测H₂、CH₄等燃爆气体装置和CO₂灭火装置等等安全措施都是非常必要的。

5. 从试验的九种国产沥青来看，燃点、燃烧之前放热行为和起始失重温度等，大致规律是型号低的沥青优于型号高的沥青。但是，为固化中、低放废物进行沥青选型时，还要考虑软化点、针入度、浸出率等因素。综合考虑诸条件，选择60#沥青是比较合宜的。

6. 受实验设备限制，本工作用的是微量或小量样品，有一定局限性。干扰离子影响试验尚待以后继续做。

本工作曾得到于承泽付总工程师的指导和帮助，陈柏松、钱养钊同志为我们提供了实验样品，姜延林、童天真同志协助我们作了红外光谱分析，金惠民同志参加过岛津热分析仪安装调试工作，特此致谢。

参 考 文 献

- [1] W. Hild et al., Bituminization of Low and Medium Level Radioactive Wastes, Anvers, 1976, p.135.
- [2] H. Eschrich, ibid., p. 187.
- [3] J. Zeger et al., SGAE BER. № 2557(1976).
- [4] J. Zeger et al., Kerntechnik, 19, 188(1977).
- [5] G. Liffillatre, Bituminization of Low and Medium Level Radioactive Wastes, Anvers, 1976, p.118.
- [6] T. Segawa et al., ibid., p. 164.
- [7] V. V. Kulichenko, ibid., p. 187.
- [8] ORNL-4422(1970).
- [9] CEA-R-3982(1970).
- [10] B. J. Newby, ICP-1008(1972).

A STUDY OF THE THERMAL STABILITY OF SODIUM NITRATE-BITUMENIZED WASTE SYSTEM

XU YUANCHAO WANG SHUJUAN LUO SHANGGENG

(Institute of Atomic Energy)

ABSTRACT

The behaviors on heating of 9 kinds of domestic bitumen with or without the addition of NaNO₃, before and after γ -irradiation, are studied by means of DTA (differential thermal analysis), TGA (thermogravimetric analysis), gas chromatography and IR-spectroscopy. It is shown that for the system NaNO₃-bitumen, heat evolution begins at a little bit over 220°C, and it is believed that this is due to oxidation reaction that occurs in this system. Some other factors that influence the combustion of this system are studied and a margin of temperature is recommended for the safe handling and operation of this system.